

Un nuovo approccio per lo studio dei decadimenti inclusivi del B su reticolo

Antonio Smecca - Università di Torino

in collaborazione con: P. Gambino, S. Hashimoto, S. Mächler, M. Panero, F. Sanfilippo, S. Simula e N. Tantalo
basato su *J. High Energ. Phys.* 2022, 83 (2022), 2203.11762

Incontri di Fisica delle Alte Energie
Catania
12 Aprile 2023



UNIVERSITÀ
DI TORINO



Vi è da tempo una tensione tra i valori degli elementi di matrice CKM $|V_{cb}|$ e $|V_{ub}|$ determinati da un'analisi **esclusiva** e gli stessi determinati da un'analisi **inclusiva**

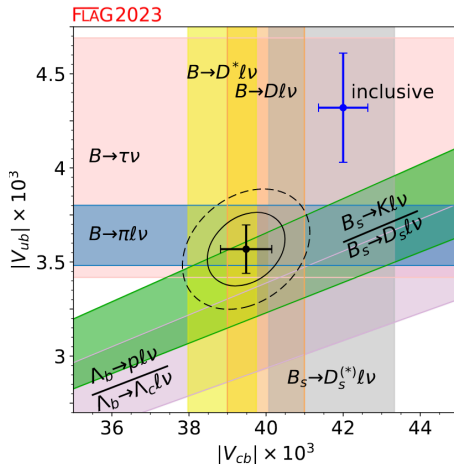
$$|V_{cb}|$$

Inclusivo	$(42.00 \pm 0.64) \cdot 10^{-3}$
Esclusivo	$(39.48 \pm 0.67) \cdot 10^{-3}$

$$|V_{ub}|$$

Inclusivo	$(4.32 \pm 0.29) \cdot 10^{-3}$
Esclusivo	$(3.57 \pm 0.13) \cdot 10^{-3}$

[FLAG '23]



Calcolo inclusivo [Gambino, Hashimoto '20, PRL 2005.13730]

$$\frac{24\pi^3}{|\mathbf{q}|G_F^2|V_{cb}|^2} \frac{d\Gamma}{d\mathbf{q}^2} \propto Z^{(l)}(\mathbf{q}^2) \quad \text{usando} \quad \Theta^{(l)}(\omega) = \omega^l \theta(\omega)$$

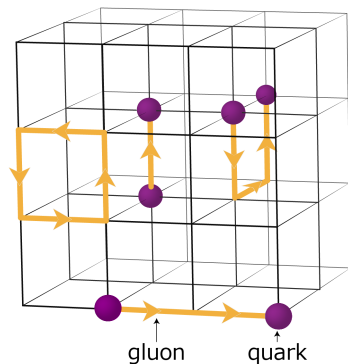
$$Z^{(l)}(\mathbf{q}^2) = \int_0^\infty d\omega \Theta^{(l)}(\omega_{max} - \omega) W^{(l)}(\omega, \mathbf{q}^2)$$

con:

$$W^{(0)} = W^{00} + \sum_{i,j=1}^3 \frac{q^i}{\sqrt{\mathbf{q}^2}} \frac{q^j}{\sqrt{\mathbf{q}^2}} W^{ij} + \frac{q^i}{\sqrt{\mathbf{q}^2}} (W^{0i} + W^{i0})$$

Calcolo di $Z^{(l)}(\mathbf{q}^2)$ richiede metodi non-perturbativi

QCD su reticolo

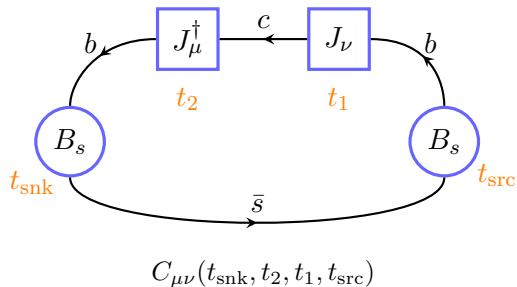


- permette calcoli non-perturbativi partendo da principi primi
- azione Euclidea \rightarrow peso statistico in una distribuzione di Boltzmann
- QCD viene discretizzata su un reticolo con passo reticolare a
- spazio-tempo Euclideo in $4D$ a **volume finito** $L^3 \times T$

$$\langle \mathcal{O} \rangle = \mathcal{Z}^{-1} \int [DU] e^{-S_E[U]} \mathcal{O}[U] \approx \frac{1}{N} \sum_{i=1}^N \mathcal{O}[U_i]$$

[Hashimoto *PTEP* 2017, 1703.01881, Gambino-Hashimoto *PRL* 2020]

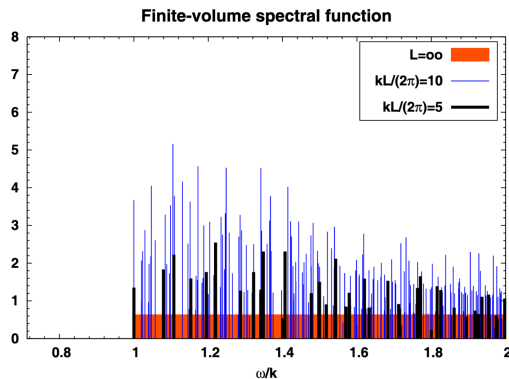
$$G_{\mu\nu}(t_2 - t_1; \mathbf{q}) = \lim_{\substack{t_{\text{snk}} \rightarrow +\infty \\ t_{\text{src}} \rightarrow -\infty}} \frac{C_{\mu\nu}(t_{\text{snk}}, t_2, t_1, t_{\text{src}})}{C(t_{\text{snk}} - t_2)C(t_1 - t_{\text{src}})}$$



$$G_{\mu\nu}(t; \mathbf{q}) = \int_0^\infty d\omega W_{\mu\nu}^L(\omega, \mathbf{q}) e^{-\omega t}$$

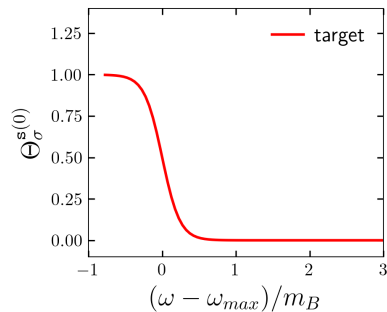
$$G_{\mu\nu}(t; \mathbf{q}) = \int_0^\infty d\omega W_{\mu\nu}^L(\omega, \mathbf{q}) e^{-\omega t}$$

Per estrarre $W_{\mu\nu}(\omega, \mathbf{q}^2)$ occorre risolvere un problema inverso mal condizionato



[H.B. Meyer, Eur.Phys.J.A47:86,2011]

$$\Theta_{\sigma}^{(l)}(\omega - \omega_{\max}) = \sum_{\tau}^{\tau_{\max}} g_{\tau}(\sigma, \omega) e^{-a\omega\tau}$$



smeared kernel

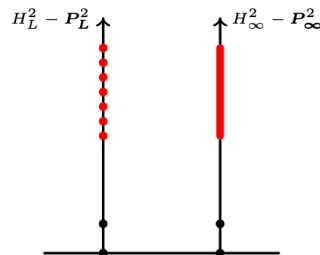
Ricordate

$$Z^{(l)}(\mathbf{q}^2) = \int_0^{\infty} d\omega \Theta^{(l)}(\omega_{\max} - \omega) W^{(l)}(\omega, \mathbf{q}^2) \quad ?$$

$$\Theta_{\sigma}^{(l)}(\omega - \omega_{\max}) = \sum_{\tau}^{\tau_{\max}} g_{\tau}(\sigma, \omega) e^{-a\omega\tau}$$

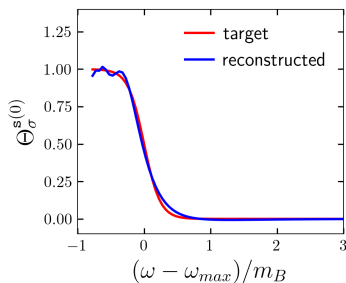
$$\begin{aligned} \widehat{Z}_{\sigma,L}^{(l)}(\mathbf{q}^2) &= \int_0^{\infty} d\omega \Theta_{\sigma}(\omega - \omega_{\max}) W_L^{(l)}(\omega, \mathbf{q}^2) \\ &= \sum_{\tau} g_{\tau}(\sigma, \omega) \int_0^{\infty} d\omega W_L^{(l)}(\omega, \mathbf{q}^2) e^{-a\omega\tau} \\ &= \sum_{\tau} g_{\tau}(\sigma, \omega) G^{(l)}(a\tau, \mathbf{q}^2) \end{aligned}$$

$$Z^{(l)}(\mathbf{q}^2) = \lim_{\sigma \rightarrow 0} \lim_{L \rightarrow \infty} \widehat{Z}_{\sigma,L}^{(l)}(\mathbf{q}^2, L)$$



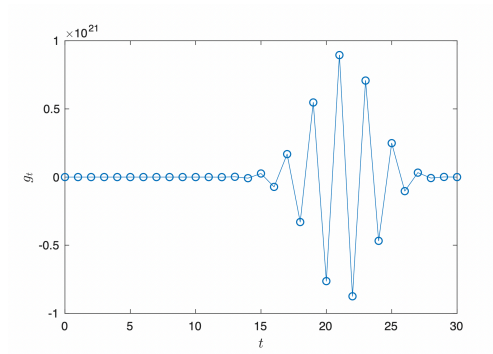
Regolarizzazione di Backus-Gilbert

Hansen, Lupo, Tantalò PRD '19 [1903.06476]



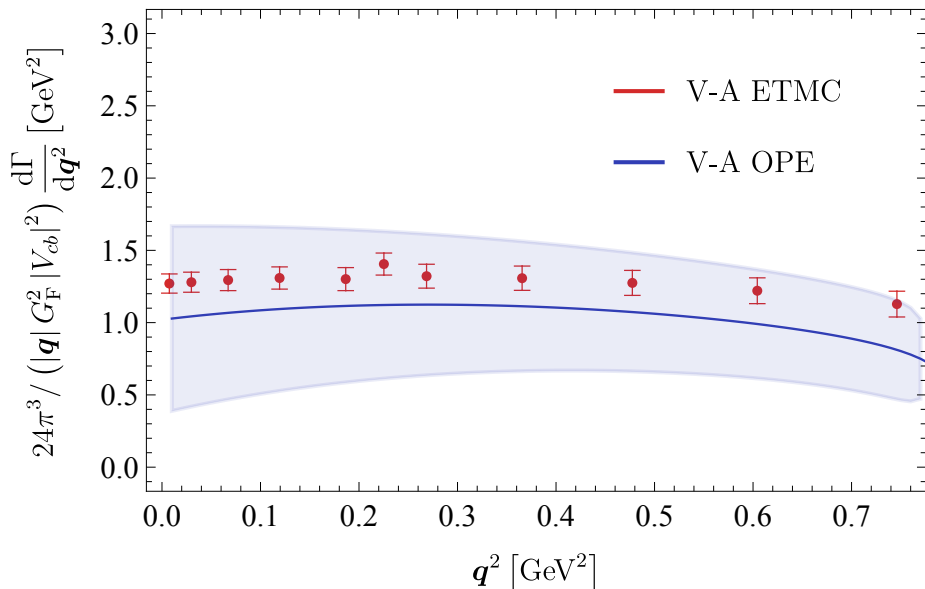
$$W_\lambda[g] = (1 - \lambda) \frac{A[g]}{A[0]} + \lambda B[g]$$

$$A[g] = a \int_{E_0}^{\infty} dw \left\{ \Theta_\sigma^{(l)} - \sum_{\tau=1}^{\tau_{max}} g_\tau e^{-aw\tau} \right\}^2$$



$$B[g] = \sum_{\tau, \tau'=1}^{\tau_{max}} g_\tau g_{\tau'} \frac{\text{Cov}[G^{(l)}(a\tau), G^{(l)}(a\tau')]}{[G^{(l)}(0)]^2}$$

Confronto con l'OPE



Conclusioni

- Abbiamo un nuovo metodo per calcolare i tassi di decadimento **inclusivi** dei processi semileptonici
- Il metodo si basa sulla ricostruzione numerica di kernel “smeared” e la regolarizzazione di un problema inverso mal condizionato
- Il lavoro presentato è esplorativo, occorre estendere l'analisi in modo da poter effettuare tutti i limiti previsti: $L \rightarrow \infty$, $a \rightarrow 0$
- Il metodo è generale e può essere applicato anche per altre quantità osservabili

Grazie per l'attenzione!

SLIDE DI BACKUP

correlatori

JLQCD

Möbius Domain Wall fermions

$$N_f = 2 + 1, L \times T = 48^3 \times 96$$

$$a = 0.055\text{fm}, M_\pi = 300 \text{ MeV}$$

$$m_b \simeq 2.44m_c \rightarrow M_{B_s} = 3.45 \text{ GeV} < M_{B_s}^{phys}$$

$$t_{\text{src}} = 0, t_{\text{snk}} = 42a, t_2 = 26a, t_1 = 16a$$

ETMC

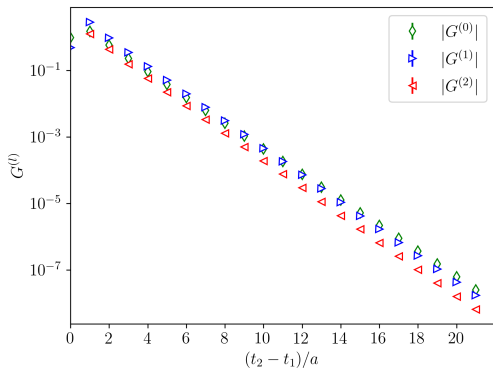
Twisted-Mass action (OS for s, c)

$$N_f = 2 + 1 + 1, L \times T = 32^3 \times 64$$

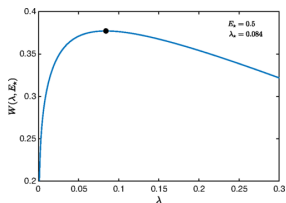
$$a = 0.0815(30)\text{fm}, M_\pi = 375(13) \text{ MeV}$$

$$m_b \simeq 2m_c \rightarrow M_{B_s} = 3.08(11)\text{GeV} < M_{B_s}^{phys}$$

$$t_{\text{src}} = 0, t_{\text{snk}} = 32a, t_2 = 22a, t_1 = 4a$$

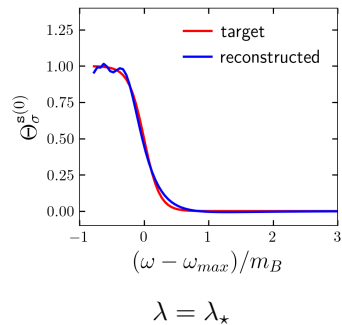
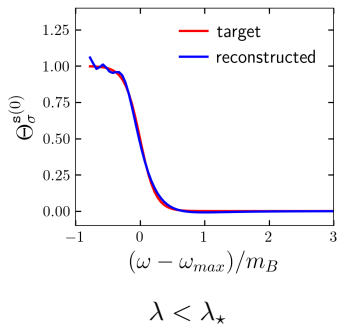


ETMC correlators

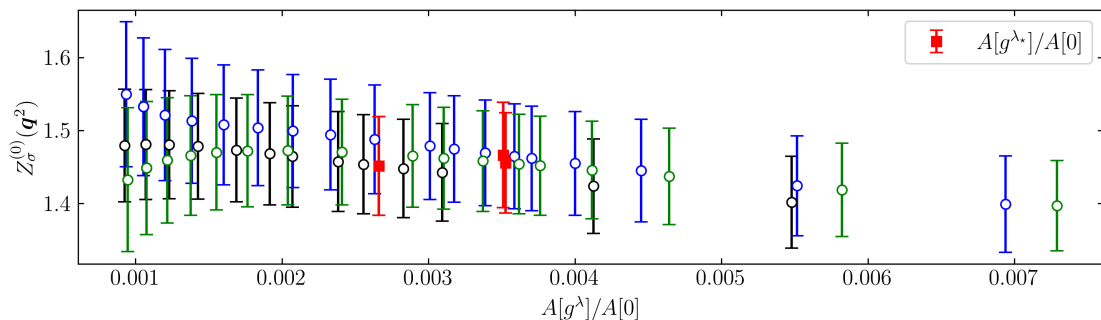
Trovare λ_* 

Hansen, Lupo, Tantalò PRD '19
[1903.06476]

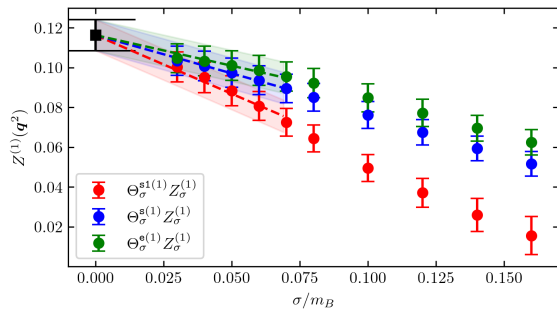
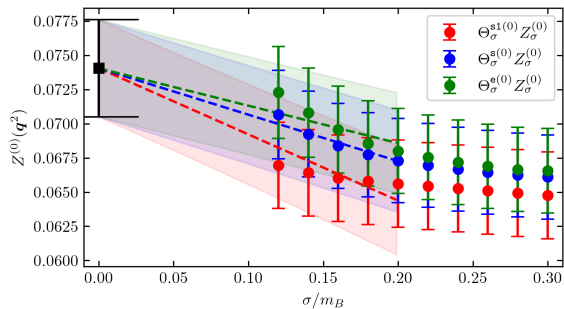
$$\left. \frac{\partial W(\lambda)}{\partial \lambda} \right|_{\lambda=\lambda_*} = 0$$

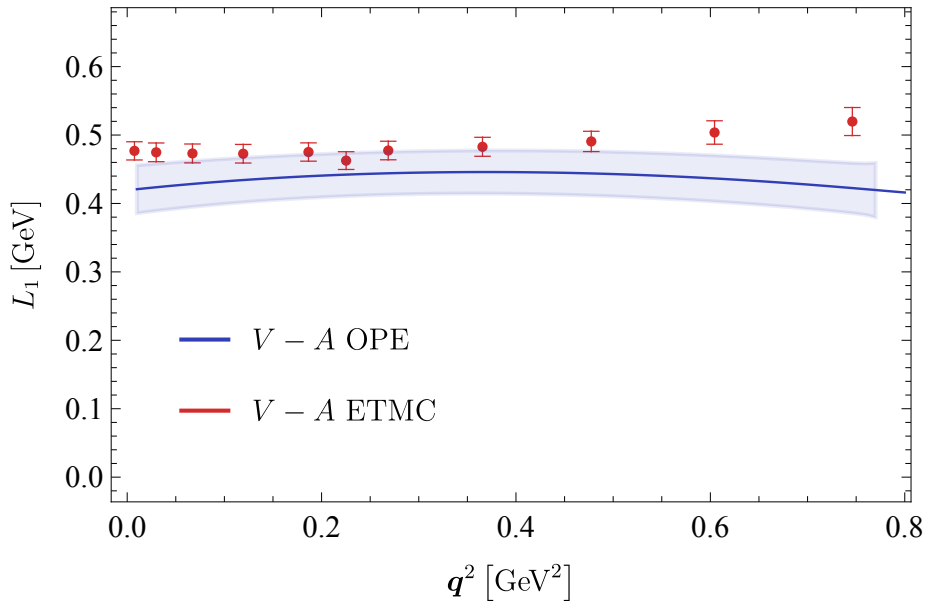


plot di stabilità [Bulava,Hansen M.T.,Hansen M.W.,Patella,Tantalo *JHEP* 2022 2111.12774]

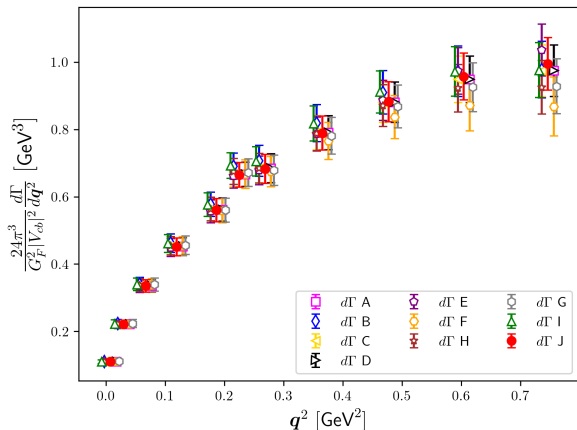


$$\theta_\sigma^s(x) = \frac{1}{1 + e^{-\frac{x}{\sigma}}}, \quad \theta_\sigma^{s1}(x) = \frac{1}{1 + e^{-\sinh(\frac{x}{r^{s1}\sigma})}}, \quad \theta_\sigma^e(x) = \frac{1 + \operatorname{erf}(\frac{x}{r^e\sigma})}{2}$$

estrapolazioni $\sigma \rightarrow 0$ 

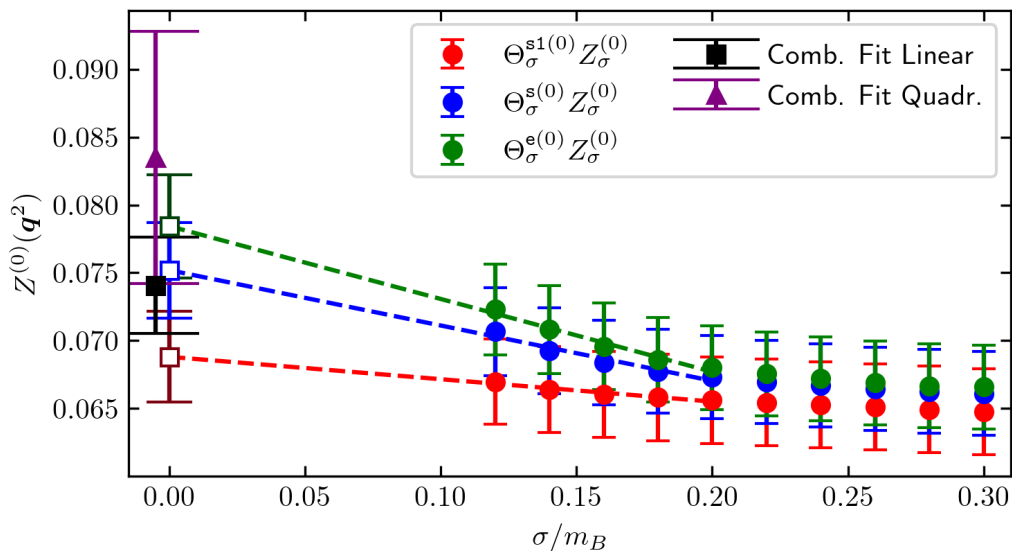


Systematics



- (a) extrapolate $Z^{(l)}$ individually and then sum
- (b) extrapolate with all values of σ
- (c) choosing $\lambda < \lambda_*$
- (d) choosing $\lambda > \lambda_*$
- (e) sum and the extrapolate sum of $Z^{(l)}$
- (f) $\tau_{\max} = 15$
- (g) $\tau_{\max} = 16$
- (h) $\tau_{\max} = 17$
- (i) Bootstrap

Extrapolation



Tensor Decomposition

According to Lorentz invariance and time-reversal symmetry, the Hadronic Tensor can be decomposed as follows

$$\begin{aligned}
 W^{\mu\nu}(p, q) = & -g^{\mu\nu}W_1(w, \mathbf{q}^2) + \frac{p^\mu p^\nu}{m_{B_s}^2}W_2(w, \mathbf{q}^2) - \frac{i\varepsilon^{\mu\nu\alpha\beta}p_\alpha q_\beta}{m_{B_s}^2}W_3(w, \mathbf{q}^2) \\
 & + \frac{q^\mu q^\nu}{m_{B_s}^2}W_4(w, \mathbf{q}^2) + \frac{p^\mu q^\nu + p^\nu q^\mu}{m_{B_s}^2}W_5(w, \mathbf{q}^2)
 \end{aligned}$$

La media PDG di $|V_{cb}|$ è: $(40.8 \pm 1.4) \cdot 10^{-3}$

Capire l'origine dell'incertezza su $|V_{cb}|$ è importante perché:

- i. è un segnale che non abbiamo una comprensione totale dell'analisi esclusiva/inclusiva, con possibili implicazioni per $R(D^*)$
- ii. una precisione limitata di $|V_{cb}|$ interessa gli studi delle correnti neutre (FCNC)

[Gambino, Jung, Shacht *Phys. Lett. B* '19, 1905.08209]

